

ستز و شناسایی کمپلکس نقره (I) شامل '۴-(۴-کوینولین)-۲،۶'-تریپریدین:  
رفتار گرمایی، مطالعه لومینسانس و ویژگی‌های سمی‌بودن سلولی

بدری زمان مؤمنی<sup>۱\*</sup>، سانا زاده‌اناری<sup>۲</sup> و زهرا شهسواری<sup>۳</sup>

۱. دانشیار شیمی معدنی، گروه شیمی معدنی، دانشکده شیمی، دانشگاه صنعتی خواجه نصیرالدین طوسی، تهران، ایران.
۲. دانشجوی دکتری شیمی معدنی، گروه شیمی معدنی، دانشکده شیمی، دانشگاه صنعتی خواجه نصیرالدین طوسی، تهران، ایران.
۳. استادیار بیوشیمی بالینی، گروه بیوشیمی بالینی، دانشکده پزشکی، دانشگاه علوم پزشکی شهید بهشتی، تهران، ایران.

دریافت: بهمن ۱۴۰۱ بازنگری: اسفند ۱۴۰۱ پذیرش: فروردین ۱۴۰۲



10.30495/JACR.2023.1978483.2090



20.1001.1.27835324.2023.17.1.2.0

#### چکیده

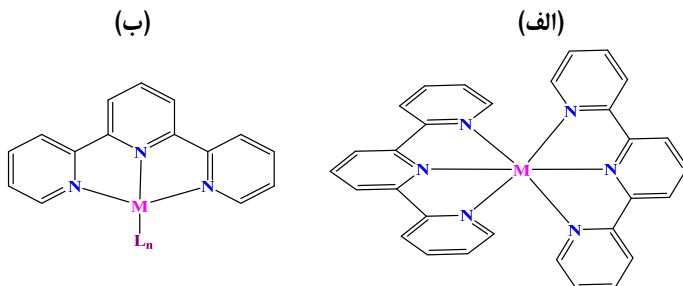
از واکنش نمک نیترات نقره با '۴-(۴-کوینولین)-۲،۶'-تریپریدین (qtpy) با نسبت ۱:۱ کمپلکس نقره (I) با عدد هم‌آایی چهار و فرمول کلی (۱)  $[Ag(qtpy)(NO_3)_2]$  سنتر شد. کمپلکس به دست آمده با تجزیه عنصری، طیف‌سننجی فروسرخ تبدیل فوریه (FTIR)، رسانندگی مولی و طیف‌سننجی رزونانس مغناطیسی هسته ( $^1H$ ,  $^{13}C$  NMR) شناسایی شد. در طیف نشری کمپلکس ۱، جابه-جایی نوار مریبوط به انتقال درون لیگاند  $\pi \rightarrow \pi^*$  به سمت طول موج‌های بلندتر نسبت به qtpy، نشان‌دهنده کوثردینه شدن لیگاند به نقره است. بررسی پایداری گرمایی کمپلکس ۱ با TGA نشان داد که کمپلکس تا دمای ۳۲۰ °C پایدار است. همچنین، سمی‌بودن سلولی کمپلکس ۱ به منظور ارزیابی فعالیت پادتئنیر آن روی رده‌های سلولی گلیوبلاستوما انسانی (U-87MG)، سرطان پستان انسان (MCF-7)، سرطان تخمدان (SCOV-3)، سرطان کولون انسانی (HT-29) و فیبروبلاست‌های پوستی انسانی (AGO1522) با آزمون سمی-böدن سلولی MTT بررسی شد که برای مقایسه از پاکلی تاکسول به عنوان مرجع استفاده شد. اثر پادرسرطانی این کمپلکس بر رده سلولی گلیوبلاستوما اولیه انسانی با  $IC_{50}: 6.93 \mu M$  بیشتر از داروی پاکلی تاکسول با  $IC_{50}: 27.38 \mu M$  است و حتی استفاده از غلظت‌های پایین کمپلکس موجب مرگ سلولی شد.

واژه‌های کلیدی: نقره (I)، تریپریدین، ویژگی‌های گرمایی، لومینسانس، سمی‌بودن سلولی.

هستند [۱ و ۲]. پیوند لیگاندهای ترپیریدین به یون‌های فلزی موجب سنتز کمپلکس‌های متعدد و گسترده با خواص ویژه‌ای شده است [۳ تا ۶]. دو حالت اصلی هم‌آرایی کمپلکس‌های مونو و بیس ترپیریدین در شکل ۱ نشان داده شده است.

## مقدمه

یکی از پژوهش‌های جدید مورد علاقه شیمیدانان، طراحی و سنتز کمپلکس‌های ترپیریدین در شیمی مدرن هم‌آرایی است. ترپیریدین‌ها ترکیب‌های ناجور حلقه شامل سه حلقه پیریدین



شکل ۱ کمپلکس بیس ترپیریدین (الف) و کمپلکس مونو ترپیریدین (ب)

است [۱۹]. جالب توجه است که کمپلکس  $[\text{CrCl}_3(\text{tpyOH})]$  دهنده  $\text{N}_3^-$  عمل می‌کند، با این حال مثال‌های کمی از رفتار این لیگاند به عنوان دهنده تک‌دندانه‌ای، دودنده‌ای و یا لیگاند پل گزارش شده است. برای مثال، پیوند تک‌دندانه‌ای لیگاند  $[\text{Au}(\text{N}_3)_3(\text{tpy}-\kappa^1-\text{N}^1)]$ -ترپیریدین در کمپلکس  $[\text{M}(\text{C}_6\text{F}_5)_2(\text{tpy})]$  ( $\text{M}=\text{Pd}, \text{Pt}$ ) نیز دارای پیوند دودنده‌ای ترپیریدین هستند [۸]. ترپیریدین‌ها همچنین، قادر به پیوند دو فلز به یکدیگر به وسیله پل هستند. برای مثال، نقره در کمپلکس دو هسته‌ای  $[\text{Ag}(4'-2\text{-pyridyl)-tpy}]_2(\text{PF}_6)_2$  به وسیله لیگاند  $4\text{-}(2\text{-pyridyl)-tpy}$  دارند [۹]. کمپلکس‌های ترپیریدین با انواع متنوعی از فلزها مانند  $\text{Sn}, \text{Co}, \text{Mn}, \text{Zn}$  و  $\text{Cd}$  از اهمیت ویژه‌ای برخوردار هستند، زیرا دارای هسته‌های با اسپین فعال در NMR هستند که به شناسایی کمپلکس‌های آن‌ها کمک می‌کنند [۲۳ و ۲۴]. نمک‌های  $\text{Ag(I)}$  اعداد هم‌آرایی متعددی را نشان می‌دهند که منجر به شکل‌های هندسی هم‌آرایی متفاوتی می‌شود [۲۵ تا ۲۷]. بنابراین، طراحی ساختارهای بسپارهای هم‌آرا به دست آمده از نقره (I) و لیگاندهای دهنده نیتروژن بسیار مورد توجه است [۲۳ و ۲۸]. در سال‌های اخیر، بررسی ویژگی‌های پادرسٹانی بسیاری از داروهای جدید سنتز شده از عناصر فلزی توجه بسیاری از زیست‌شیمیدان‌های معدنی را به خود جذب کرده

"۲،۴،۶"-ترپیریدین (tpy) به طور معمول به عنوان یک دهنده  $\text{N}_3^-$  عمل می‌کند، با این حال مثال‌های کمی از رفتار این لیگاند به عنوان دهنده تک‌دندانه‌ای، دودنده‌ای و یا لیگاند پل گزارش شده است. برای مثال، پیوند تک‌دندانه‌ای لیگاند  $[\text{Au}(\text{N}_3)_3(\text{tpy}-\kappa^1-\text{N}^1)]$ -ترپیریدین در کمپلکس  $[\text{M}(\text{C}_6\text{F}_5)_2(\text{tpy})]$  ( $\text{M}=\text{Pd}, \text{Pt}$ ) نیز دارای پیوند دودنده‌ای ترپیریدین هستند [۸]. ترپیریدین‌ها همچنین، قادر به پیوند دو فلز به یکدیگر به وسیله پل هستند. برای مثال، نقره در کمپلکس دو هسته‌ای  $[\text{Ag}(4'-2\text{-pyridyl)-tpy}]_2(\text{PF}_6)_2$  به وسیله لیگاند  $4\text{-}(2\text{-pyridyl)-tpy}$  ترپیریدین با یکدیگر پیوند دارند [۹]. کمپلکس‌های ترپیریدین با انواع متنوعی از فلزها مانند  $\text{Sn}, \text{Co}, \text{Mn}, \text{Zn}$  و  $\text{Cd}$  از اهمیت ویژه‌ای برخوردار هستند، زیرا دارای هسته‌های با اسپین فعال در NMR هستند که به شناسایی کمپلکس‌های آن‌ها کمک می‌کنند [۲۳ و ۲۴]. نمک‌های  $\text{Ag(I)}$  اعداد هم‌آرایی متعددی را نشان می‌دهند که منجر به شکل‌های هندسی هم‌آرایی متفاوتی می‌شود [۲۵ تا ۲۷]. بنابراین، طراحی ساختارهای بسپارهای هم‌آرا به دست آمده از نقره (I) و لیگاندهای دهنده نیتروژن بسیار مورد توجه است [۲۳ و ۲۸]. در سال‌های اخیر، بررسی ویژگی‌های پادرسٹانی بسیاری از داروهای جدید سنتز شده از عناصر فلزی توجه بسیاری از زیست‌شیمیدان‌های معدنی را به خود جذب کرده

خالص سازی بیشتر، استفاده شدند. طیف FTIR کمپلکس با ABB Bomem FT LA 2000 و دستگاه KBr ساخت قرص در گستره ۴۰۰ تا  $4000\text{ cm}^{-1}$  ثبت شد. رسانندگی محلول ZAG ۰/۰۰۱ مولار کمپلکس در حلال DMSO با دستگاه CHEMIE Co. ثابت شد. ثابت سل دستگاه با محلول پتاسیم کلرید ۰/۰۱ مولار محاسبه شد. تجزیه عنصری نمونه با دستگاه Thermo Finnigan Flash Ea 1112 انجام شد. طیف‌های Bruker Bio Spin GmbH 400  $^{13}\text{C}$  NMR و  $^1\text{H}$  با دستگاه Bruker Analytik GmbH 300 جذب UV-Vis با UV-Vis دستگاه PerkinElmer Lambda 2S فراهم شد. طیف فلورسانس با طیفسنجه لومینسانس Perkin-Elmer LS55 در دمای اتاق به دست آمد. عرض عبور نوارهای ۴۰۰ nm.min<sup>-1</sup> (Slit)، ۱۰ nm و سرعت عبور ۱۵۰۰ در هوا با سرعت  $10^\circ\text{C}.min^{-1}$  در گستره  $10^\circ\text{C}$  تا ۲۵ در گستره  $10^\circ\text{C}.min^{-1}$  در هوا با سرعت ۱۵۰۰ در ۸۰ درجه شد. جذب نمونه‌ها در طول موج ۵۷۰ nm با دستگاه خوانش میکروپلیت (Tecan, Austria) انجام شد. تعیین IC<sub>50</sub> و بررسی بقای رده‌های سلولی، نتیجه‌های به دست آمده از آزمون MTT با به کارگیری نرم افزار (GraphPad Software, Inc., La Jolla, CA, USA) مورد تجزیه و تحلیل آماری قرار گرفت.

تهیه لیگاند<sup>۴</sup>-<sup>۳</sup>(کوینولین)-<sup>۲</sup>-<sup>۲</sup>(کوینولین)-<sup>۲</sup>-تریپریدین-۲-استیل پیریدین (۰,۵۶ ml، ۵ mmol) به محلولی از ۴-کوینولین بنزآلدئید (۰,۵ mmol، ۳۹۲ mg) در حلال اتانول (۰,۵ ml) در ۸۰ درجه شده و پس از چند دقیقه محلولی از آمونیاک (۰,۱۵ mol) و پتاسیم هیدروکسید (۰,۵ mmol) به آن افزوده شد. مخلوط واکنش تحت بازویانی در دمای ۳ ساعت گرمادهی شد. پس از سرد کردن مخلوط واکنش در دمای صفر درجه سانتی گراد جامد سفید رنگی به دست آمد. جامد سفید با محلول ۵۰ درصد حجمی آب مقتدر و ۵۰ درصد حجمی اتانول شسته شد. سپس، رسوب سفید در

است [۲۹ تا ۳۳]. در این میان، تریپریدین‌ها و کمپلکس‌های آن‌ها به دلیل دامنه گسترده فعالیت خود در برابر سلول‌های سلطانی شناخته شده‌اند [۳۴].

کمپلکس‌های فلزی مبتنی بر لیگاندهای تریپریدین شناخته شده‌اند که قابلیت فعالیت پادتوموری دارند و می‌توانند به DNA متصل شوند [۳۵]. برای مثال، کمپلکس پلاتین (II) با لیگاند  $2'\text{-اع}^2$ -تریپریدین استخلاف شده با پیریدیل در موقعیت  $4'$ -اثر سمی بودن سلولی بالاتری نسبت به سیس پلاتین دارد [۳۶]. علاقه به فعالیت‌های کمپلکس‌های مبتنی بر نقره و تریپریدین به ویژه به عنوان معرفه‌های پادرسطان به طور قابل توجهی افزایش یافته است. اثرات پادرسطانی کمپلکس  $4'\text{-دی}-متیل-2'\text{-اع}^2$ -تریپریدین نقره، کمپلکس‌های نقره تریپریدین که در موقعیت  $4'$  خود استخلاف فوریل و تاینیل دارند و یا لیگاند ناپروکسن دارند نیز ثابت شده است [۳۷ تا ۳۹]. همچنین، ویژگی‌های پادمالاریا، پادباکتریایی، پادرسطان و پادویروسی خوبی پیش‌ازیان برای کوینولین‌ها و هم خانواده‌های آن ارائه شده است [۴۰ تا ۴۲]. کمپلکس‌های طلا، مس و پلاتین تریپریدین که در موقعیت  $4'$  خود استخلاف کوینولین دارند، اثرات پادرسطانی بالاتری را نسبت به سیس پلاتین نشان داده‌اند [۴۳]. همچنین، کمپلکس‌های مس با تریپریدین و هم خانواده‌های آن از جمله تریپریدین شامل لیگاند کوینولین ویژگی‌های پادرسطانی روده بزرگ و تخمدان را نشان داده‌اند [۴۴ و ۴۵]. در این مقاله، کمپلکس جدید  $[\text{Ag}(\text{qtpy})(\text{NO}_3)_2]$  با عدد هم‌آرایی چهار سنتر و شناسایی شد. همچنین، ویژگی‌های گرمایی، لومینسانس و پادتوموری آن بر پنج ردۀ سلول سلطانی بررسی شد.

## بخش تجربی

### مواد و تجهیزات

تمامی حلال‌های تجاری متانول، اتانول، دی‌متیل سولفوکسید، دی‌کلرومتان از شرکت مرک تهیه شدند و بدون

122.20 ( $C^{C2,7}$ ), 122.26 ( $C^{B3,S'}$ ), 123.53 ( $C^{A3,S''}$ ), 123.63 ( $C^{A5,S''}$ ), 125.65 ( $C^8$ ), 126.12 ( $C^{Cl}$ ), 128.25 ( $C^{C2,7}$ ), 130.17 ( $C^{CS}$ ), 130.49 ( $C^6$ ), 139.14 ( $C^{A4,4''}$ ), 144.94 ( $C^{B4}$ ), 148.43 ( $C^9$ ), 149.23 ( $C^4$ ), 150.95 ( $C^{C3}$ ), 152.24 ( $C^{A6,6''}$ ), 152.36 ( $C^{B2,6}$ ), 153.17 ( $C^{A2,2''}$ ) ppm.

### روش‌های آزمایشگاهی کشت سلولی

رده سلولی U-87MG گلیوبلاستومای انسانی، رده سلولی MCF-7 سرطان پستان انسانی، رده سلولی SCOV-3 سرطان تخمدا، رده سلولی HT-29 سرطان کولون انسانی و رده سلولی AGO1522 فیبروبلاست پوست انسان از بانک سلولی انتستیتو پاستور ایران خریداری شدند. برای تهیه محیط کشت رده MCF-7، محیط کشت DMEM/Ham's-F12 حاوی گلوتامین و ۱۰۰ mg/ml استرپتومایسین (۱%) صاف شده و FBS به میزان ۱۰٪ حجم کل، به آن، افزوده شد. برای کشت رده‌های سلولی AGO1522, U-87MG ، HT-29 و SCOV-3، محیط کشت DMEM و ۱۰۰ واحد در میلی لیتر پنی‌سیلین و ۱۰۰ mg/ml استرپتومایسین (۱%) صاف شده و FBS به میزان ۱۰٪ حجم کل، افزوده شد. سلول‌ها به گرمخانه ۵٪ گاز کربن دی‌اکسید، ۹۵٪ رطوبت و دمای ۳۷°C متنقل شدند. پس از خروج سلول‌ها از فریزر ۷۰-۷۰°C هر ۲۴ ساعت یکبار سلول‌ها از نظر رشد و تراکم سلولی، ریختشناسی و عدم آلودگی باکتریایی و قارچی بررسی شدند. محیط کشت فلاسک‌ها هر دو الی سه روز یکبار تعویض شد و این فرایند تا زمان رسیدن تراکم سلول‌ها به ۸۰٪ انجام شد.

### بررسی مرگ سلولی

برای اندازه‌گیری زیست‌پذیری و پاسخ سلول‌ها به کمپلکس تهیه شده، از روش MTT استفاده شد. MTT، نمک زرد رنگ تترازولیم محلول در آب است که با آنزیم سوکسینات دهیدروژناز موجود در میتوکندری‌های سلول‌های زنده و فعال، احیاء و به فورمازان نامحلول آبی-بنفس رنگ تبدیل می‌شود. این رنگ در حال آلی دی‌متیل‌سولفوکسید حل شد که شدت

دمای محیط خشک شد. بازده واکنش ۷۸٪ و نقطه ذوب ۱۱۵°C بود [۴۶].

تهیه کمپلکس  $[Ag(qtpy)(NO_3)]$  به محلول نمک نقره نیترات ( $23\text{ mg}_{0.0}/14\text{ mmol}$ ) در متانول ( $10\text{ ml}$ )،  $(4'-4\text{-کوینولین}-2'\text{-اع}''\text{-تریپریدین})$  در دمای محیط افزوده شد که بلافالاصله جامد زرد کمرنگی تشکیل شد. سپس، محلول واکنش به مدت ۴ ساعت در دمای محیط همزده شد. جامد زرد رنگ با گریزانه جداسازی، با اتر شسته و در هوا خشک شد. بازده ۹۰٪ و نقطه ذوب در گستره  $324\text{ }^{\circ}\text{C}$  تا  $328\text{ }^{\circ}\text{C}$  بود. نتیجه‌های تجزیه عنصری برای کمپلکس  $C_{24}H_{16}AgN_5O_3 \cdot 1.5H_2O$  بر حسب درصد گزارش شده است (جدول ۱).

جدول ۱ درصد C, H و N در کمپلکس

$C_{24}H_{16}AgN_5O_3 \cdot 1.5H_2O$					
N		H		C	
نظري	تجربى	نظري	تجربى	نظري	تجربى
۱۱/۷۶	۱۲/۵۷	۳/۲۵	۳/۴۴	۵۱/۹۳	۵۱/۷۲

طیف‌سنجی مرئی-فرابنفش (UV-Vis) در حلال DMSO یک نوار جذبی در  $350\text{ nm}$  مربوط به انتقال درون لیگاند  $\pi \rightarrow \pi^*$  را نشان می‌دهد که از این بالاترین جذب برای بررسی نشر فلورسانس استفاده شد.

برخی از داده‌های طیفی:

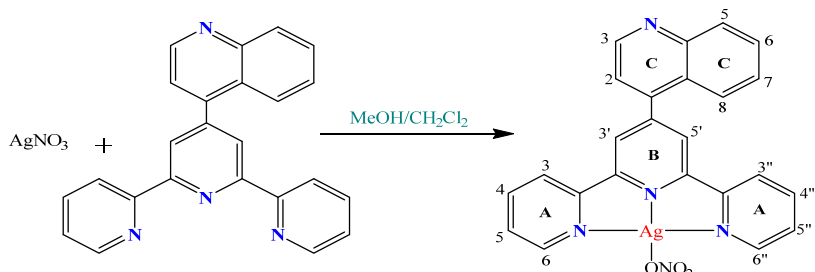
FTIR (KBr,  $\text{cm}^{-1}$ ): 3449 (O-H), 3058 (=C-H), 1583 (C=N), 1472 (C=C), 1336 (N-O,  $\text{NO}_3$ ), 498(Ag-N);  $^1\text{H}$  NMR (400 MHz, DMSO- $d_6$ ,  $\delta$ ): 9.12 (d,  $^3J = 4.4\text{ Hz}$ , 1H,  $H^{C3}$ ), 8.72 (s, 2H,  $H^{B3,S'}$ ), 8.67 (d,  $^3J = 4.4\text{ Hz}$ , 2H,  $H^{A3,S''}$ ), 8.62 (d,  $^3J = 8.0\text{ Hz}$ , 2H,  $H^{A6,6''}$ ), 8.23 (d,  $^3J = 8.4\text{ Hz}$ , 1H,  $H^{C8}$ ), 8.10 (td,  $^3J = 7.7, 1.8\text{ Hz}$ , 2H,  $H^{A4,4''}$ ), 7.98 (d,  $^3J = 8.4\text{ Hz}$ , 1H,  $H^{C5}$ ), 7.91 (t,  $^3J = 7.6, 1\text{H}$ ,  $H^{C6}$ ), 7.80 (d,  $^3J = 4.4\text{ Hz}$ , 1H,  $H^{C2}$ ), 7.71 (t,  $^3J = 7.7\text{ Hz}$ , 1H,  $H^{C7}$ ), 7.64-7.62 (dd,  $^3J = 6\text{ Hz}$ , 2H,  $H^{A5,S''}$ ) ppm;  $^{13}\text{C}$  NMR ( $^1\text{H}$ ) (75 MHz, DMSO- $d_6$ ,  $\delta$ ):

تحت محافظت از نور افروده شد که کمپلکس (۱) [Ag(qtpy)(NO<sub>3</sub>)<sup>1</sup>] تشکیل شد. بررسی حلالیت کمپلکس نشان داد که در حلال‌های متانول، اتانول، دی‌کلرومتان، استونیتریل و نیترومتان حل نمی‌شود، ولی در حلال آبی دی‌متیل‌سولفوکسید به خوبی حل می‌شود. شناسایی فراورده با <sup>1</sup>H NMR و <sup>13</sup>C NMR <sup>۲</sup> انجام گرفت. با اندازه‌گیری رسانندگی مولی کمپلکس در محلول می‌توان تعداد یون‌های موجود در محلول را تعیین کرد. بنابراین، ابتدا مقدار ثابت سل (C) با اندازه‌گیری رسانندگی مولی محلول می‌توان محاسبه شد که برابر با ۰/۰۱ M (۰/۰۱ M) KCl می‌باشد. رسانندگی مولی محلول ۰/۰۰۱ M <sup>۱</sup>/۳۸ Ω<sup>-۱</sup> cm<sup>2</sup>.mol<sup>-۱</sup> بود. رسانندگی مولی محلول کمپلکس نیز اندازه‌گیری شد. سپس رسانندگی ویژه آن از رابطه (1/C) = λ<sub>M</sub> (۱۰۰۰k/M) تعبیین شد. رسانندگی مولی محلول کمپلکس ۱ در دی‌متیل‌سولفوکسید، Ω<sup>-۱</sup>.cm<sup>2</sup>.mol<sup>-۱</sup> ۶ به دست آمد که در گستره محلول‌های غیر الکتروولیت است و خشی‌بودن کمپلکس در محلول را نشان می‌دهد [۴۷]. بنابراین، فرمول [Ag(qtpy)(NO<sub>3</sub>)<sup>1</sup>] برای کمپلکس ۱ پیشنهاد می‌شود. طرحواره ساختار پیشنهادی کمپلکس (۱) [Ag(qtpy)(NO<sub>3</sub>)<sup>1</sup>] در شکل ۲ ارائه شده است.

رنگ آن در طول موج ۵۷۰ nm متناسب با مقدار سلول‌های زنده است. ابتدا سلول‌های SCOV-29.3 و AGO1522 موجود در فلاسک‌ها، تریپسینه شده و پس از شمارش سلولی، سلول‌ها با تراکم مشخص (۳×۱۰<sup>۷</sup>) سلول به پلیت ۹۶ تایی منتقل شدند. سلول‌ها به مدت ۲۴ ساعت در این شرایط انکوبه شدند تا به طور کامل به کف ظرف چسبیده و در فاز رشد لگاریتمی قرار گیرند. پس از آن، محیط کشت چاهک‌ها تخلیه شد و سپس، محیط کشت تازه به همراه غلظت‌های مورد نظر از ترکیب (۰، ۱۰، ۲۵، ۴۰ μM) (۰، ۱۰، ۲۵، ۴۰ μM) به آن‌ها افروده شدند. پس از گذشت زمان مورد نظر (۲۴ ساعت)، به هر چاهک ۱۰ μl محلول MTT (غلهٔ C<sup>۰</sup> در PBS ۵mg/ml) افزوده و به مدت ۴ ساعت در دمای ۳۷ در گرمخانه قرار داده شدند. سپس، محیط رویی سلول‌ها حذف و به هر چاهک ۱ μl دی‌متیل‌سولفوکسید افزوده شد و پس از ۱۰ دقیقه قرار گرفتن در گرمخانه در تاریکی، جذب نمونه‌ها در طول موج ۵۷۰ نانومتر با دستگاه خوانش میکروپلیت اندازه‌گیری شد. مقدار جذب به طور مستقیم با تعداد سلول‌های زنده متناسب است.

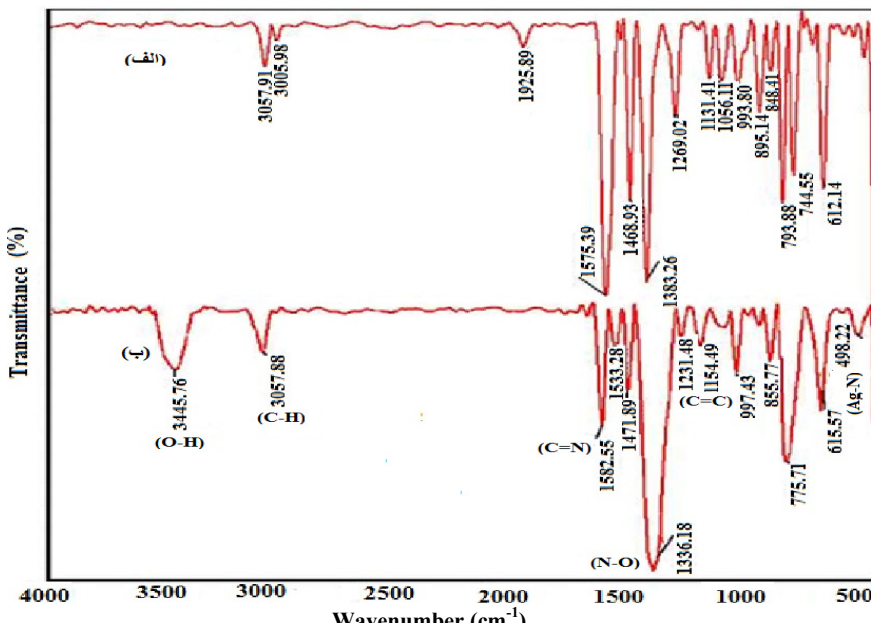
## نتیجه‌ها و بحث

محلولی از <sup>۱</sup>-[۴-(۴-کوینولین)-۲،۳'-تریپیریدین] در دی‌کلرومтан به محلولی از نمک نقره (I) نیترات در متانول



شکل ۲ طرحواره تهیه کمپلکس ۱ همراه با برچسب گذاری <sup>۱</sup>-[۴-(۴-کوینولین)-۲،۳'-تریپیریدین]

بررسی طیف‌سنجی فروسرخ (FTIR)  
طیف فروسرخ کمپلکس ۱ در شکل ۳ ارائه شده است.



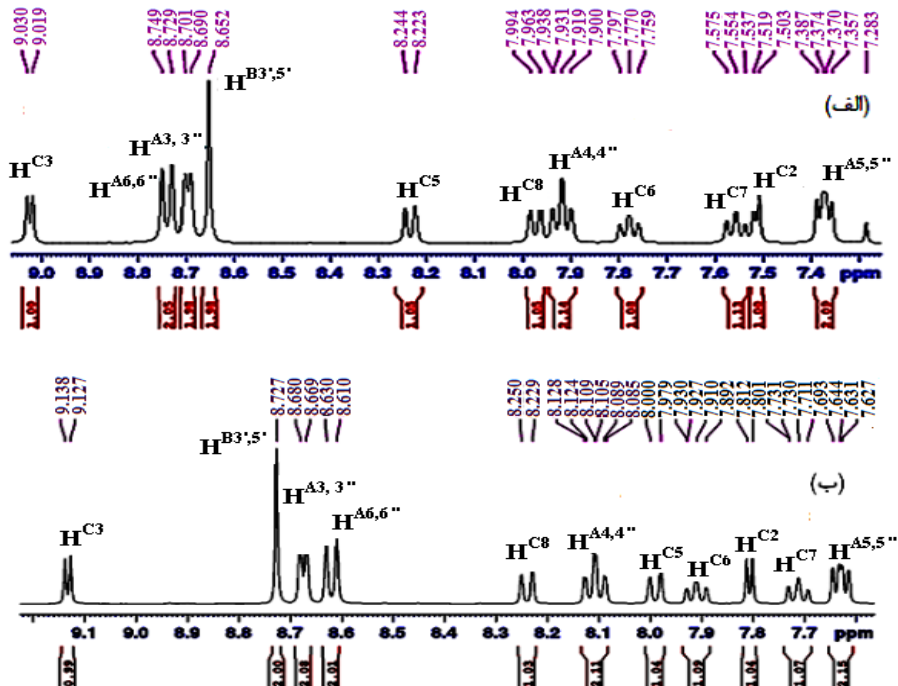
شکل ۳ طیف‌های فروسرخ qtpy (الف) و کمپلکس ۱ (ب)

بررسی طیف رزنانس مغناطیسی هسته طیف  $^1\text{H}$  NMR لیگاند آزاد qtpy در حلال  $\text{CDCl}_3$  [۴۶] و [۵۰] و طیف کمپلکس ۱ در حلال  $\text{DMSO}-d_6$  به دست آمد (شکل ۴). مقایسه داده‌های  $^1\text{H}$  NMR کمپلکس ۱ با لیگاند آزاد qtpy نشان‌دهنده جایه‌جایی برخی مکان‌های شیمیایی هیدروژن‌های qtpy در اثر کوئورده شدن به فلز است. در این میان هیدروژن‌های موقعیت‌های "ع۶ به دلیل نزدیکی به اتم فلز، تغییر قابل توجهی در جایه‌جایی شیمیایی نشان می‌دهند. مقایسه با لیگاند آزاد، به سمت میدان قوی‌تر جایه‌جا شده است. پیک  $^1\text{H}^{A6,6''}$  با جایه‌جایی شیمیایی در گستره ۸/۶۱ تا ۸/۶۳ ppm در مقایسه با لیگاند آزاد، به سمت میدان ضعیف جایه‌جا شده است. چنین جایه‌جایی شیمیایی، در سایر کمپلکس‌های ترپیریدین شامل ۸/۷۲ ppm به سمت میدان ضعیف جایه‌جا شده است. چنین

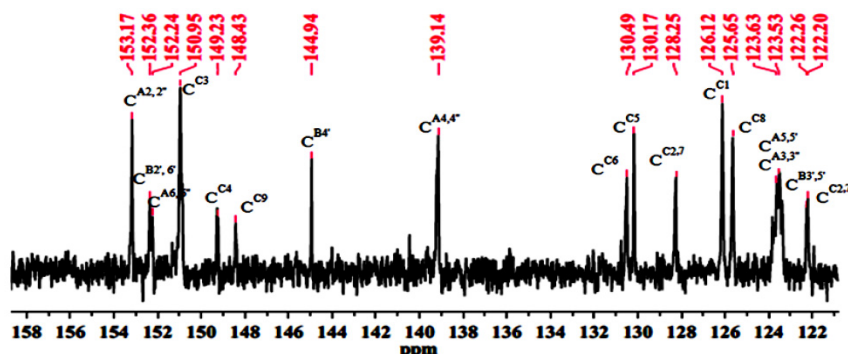
نوارهای جذبی ظاهر شده در ناحیه  $3449\text{--}3446\text{ cm}^{-1}$  مربوط به ارتعاش کششی گروه هیدروکسی (O-H) و در  $3058\text{ cm}^{-1}$  به پیوندهای کربن-هیدروژن حلقه آروماتیک نسبت داده می‌شود. حضور یک نوار جذبی قوی در ناحیه  $1583\text{ cm}^{-1}$  را می‌توان به فرکانس کششی پیوند C=N نسبت داد. نوارهای جذبی مربوط به ارتعاش‌های کششی پیوندهای C=C، C=N (مربوط به  $\text{NO}_3$ ) و Ag-N به ترتیب در  $1336$ ،  $1372$  و  $498\text{ cm}^{-1}$  ظاهر شده است [۴۸]. ارتعاش کششی نوارهای جذبی  $\text{v}(\text{C}=\text{N})$  در کمپلکس نسبت به لیگاند qtpy ( $1575\text{ cm}^{-1}$ ) به سمت انرژی پایین‌تر در حدود  $8\text{ cm}^{-1}$  جایه‌جا شده است که به پیوند اتم نیتروژن به یون فلزی Ag(I) نسبت داده می‌شود [۱۱] و [۴۹].

که به کربن‌های بخش‌های تریپیریدین و کوینولین نسبت داده می‌شوند (شکل ۵).

یون فلزی  $\text{Ag(I)}$  مشاهده شده است [۲۳]. همچنین، طیف  $\text{DMSO}-d_6$  در  $^{13}\text{C}$  NMR حضور هفده پیک را نشان می‌دهد



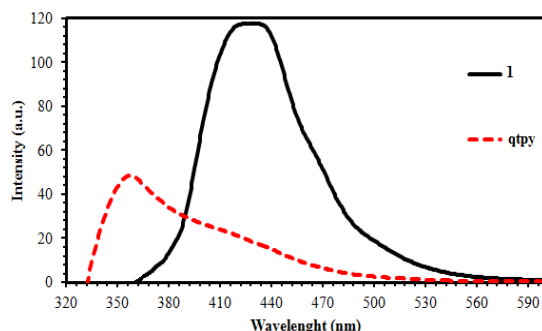
شکل ۴ طیف‌های  $^1\text{H}$  NMR لیگاند ۱ در حلال  $\text{CDCl}_3$  (الف) و کمپلکس ۱ در حلال  $\text{DMSO}-d_6$  (ب)



شکل ۵ طیف  $^{13}\text{C}$  NMR {۱} کمپلکس ۱ در حلال  $\text{DMSO}-d_6$

برانگیخته کردن کمپلکس در طول موج  $350\text{ nm}$  یک نوار نشری پهن در  $432\text{ nm}$  مشاهده شد. مطابق با طیف نشری کمپلکس‌های تریپیریدین، نوار نشری در ناحیه پر انرژی می‌تواند

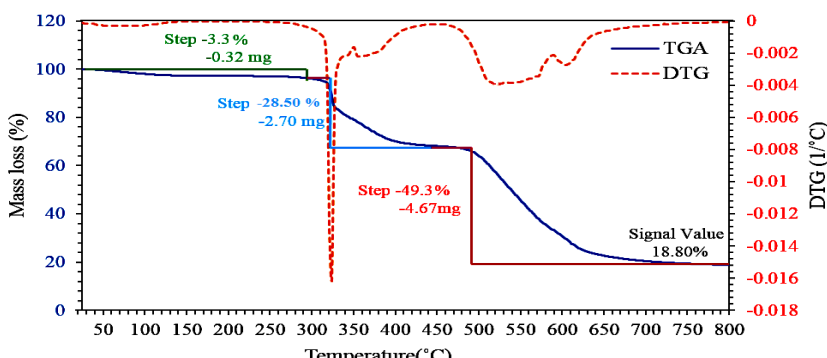
بررسی طیف نشری ویژگی فلورسانس کمپلکس ۱ با تهییه محلولی از کمپلکس با غلظت  $M \times 10^{-5}$  در  $\text{DMSO}$  و در دمای اتاق بررسی شد. با



شکل ۶ طیف‌های نشری qtpy و کمپلکس ۱ در حلال DMSO

بررسی تجزیه گرمایی  
بررسی تجزیه گرمایی کمپلکس ۱ تا دمای  $800^{\circ}\text{C}$  تحت  
جو هوا انجام شد که نمودار آن در شکل ۷ نشان داده شده است.

مریبوط به انتقال درون لیگاند  $\pi \rightarrow \pi^*$  باشد [۵۱]. بررسی طیف نشری یک نوار نشری در ناحیه  $357\text{ nm}$  را با برانگیختگی محلول لیگاند در  $325\text{ nm}$  نشان می‌دهد (شکل ۶). مقایسه طیف نشری لیگاند و کمپلکس ۱ نشان می‌دهد که نشر کمپلکس به سمت طول موج‌های بلندتر (انرژی و فرکانس‌های کمتر) انتقال پیدا کرده و این انتقال قرمز به کوئور دینه شدن لیگاند به یون فلزی نسبت داده می‌شود. این ویژگی موجب شده که از لیگاند ترپیریدین و مشتق‌های استخلاف‌دار آن برای طراحی شناساگرهای متفاوت برای تشخیص انواع یون‌های فلزی استفاده شود [۵۲].



شکل ۷ نمودارهای تجزیه گرمایی کمپلکس ۱

می‌توان به از دست رفتن قسمت کوینولین نسبت داد. مرحله آخر با بیشترین جرم از دست رفته  $49/3\%$  را می‌توان مریبوط به تجزیه باقی‌مانده لیگاند سه دندانه‌ای ترپیریدین و آبیون نیترات با مقدار محاسبه شده  $52/8\%$  نسبت داد. جرم باقی‌مانده در گستره دمایی  $750^{\circ}\text{C}$  تا  $800^{\circ}\text{C}$  با درصد وزنی  $18/8\%$  را می‌توان به نقره (مقدار محاسبه شده  $19/2\%$ ) نسبت داد.

نخستین مرحله از کاهش جرم در گستره دمایی  $25^{\circ}\text{C}$  تا  $280^{\circ}\text{C}$  صورت گرفت که کاهش جرم آن  $3/4\%$  از جرم نمونه است. این کاهش جرم را می‌توان به تبخیر مولکول آب تبلور نسبت داد که درصد کاهش جرم محاسبه شده برای این مرحله  $3/2\%$  است. کمپلکس بی‌آب تا دمای  $320^{\circ}\text{C}$  پایدار بود و با افزایش دما، تجزیه گرمایی کمپلکس در دو مرحله اصلی صورت گرفت که تا دمای  $730^{\circ}\text{C}$  ادامه یافت. کاهش وزن در گستره دمایی  $320^{\circ}\text{C}$  تا  $450^{\circ}\text{C}$  برابر با  $28/5\%$  بود که این کاهش را

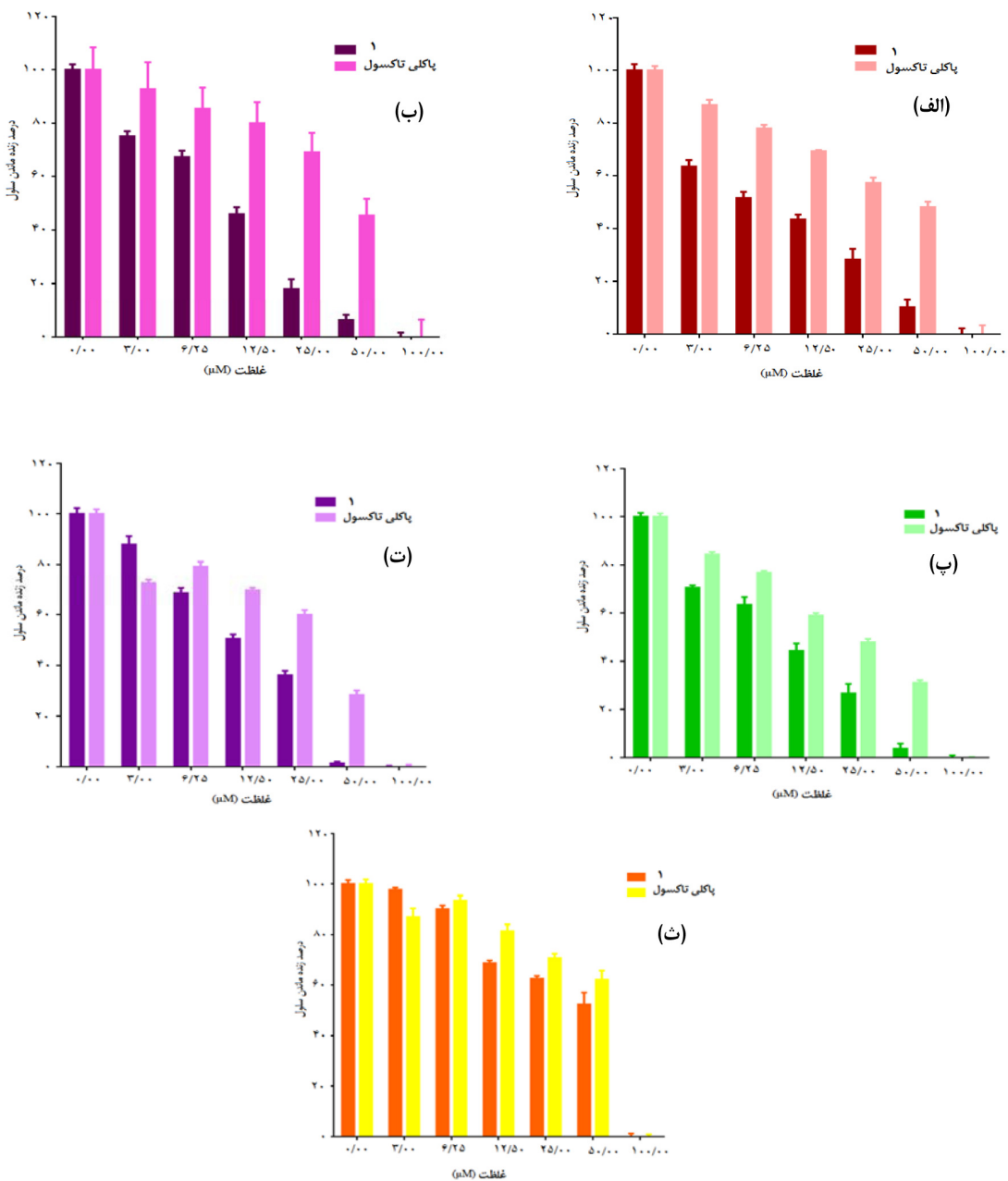
## نتیجه آزمون MTT

تأثیر غلظت‌های متفاوت کمپلکس  $[Ag(qtpy)(NO_3)_2]$  بر مرگ سلولی پنج رده سلولی در شکل ۸ نشان داده شده است. با افزایش غلظت کمپلکس ۱، میزان سمی بودن سلولی آن بر رده‌های سلولی سلطانی نسبت به کنترل تیمارنشده و رده نرمال AGO1522، افزایش یافت. مقایسه غلظت‌های متفاوت دارو با داروی شیمی درمانی پاکلی‌تاکسول هم نشان‌دهنده پاسخ مؤثرتر سلول‌ها به کمپلکس ۱ در غلظت‌های پایین‌تر نسبت به پاکلی‌تاکسول در ۲۴ ساعت، است. در میان رده‌های سلولی سلطانی، رده U-87MG گلیوبلاستومای اولیه انسانی بیشترین حساسیت نسبت به کمپلکس را داشت و میزان  $IC_{50}$  آن کمترین در مقایسه با رده‌های سلولی سلطانی دیگر و رده نرمال AGO1522، بود. این نتیجه‌ها نشان‌دهنده عملکرد مناسب کمپلکس ۱ در مقایسه با پاکلی‌تاکسول در مهار رشد سلولی رده‌های سلطانی گلیوبلاستوما، پستان، تخمدان و کولون است.

برخی از لیگاندها به عنوان داروی پادرسطان به کار می‌روند و فعالیت پادرسطانی آن‌ها در نتیجه تشکیل کمپلکس با فلزها افزایش می‌یابد. سازوکار دقیق فعالیت پادرسطانی یک لیگاند به طور دقیق مشخص نیست. به طور کلی، فرض بر این است که این لیگاندها با غیرفعال کردن فلزهای سلطان‌زا یا غیرفعال کردن آنزیمهای لازم برای رشد سریع، منجر به ویژگی پادرسطانی می‌شوند [۵۳]. به نظر می‌رسد که تریپریدین به عنوان لیگاند نیتروژن‌دهنده، سازوکار مشابه در مهار سلول‌های سلطانی داشته باشدند. نتیجه مطالعه سمی بودن سلولی با کمیت  $IC_{50}$  نمایش داده می‌شود. این کمیت غلظت ماده سمی (دارو) مورد نیاز برای کاهش رشد جمعیتی از سلول‌ها تا به حد ۵۰ درصد نسبت به همان جمعیت در محیط کشت بدون ماده سمی تعریف شده است. مقدار  $IC_{50}$  وابسته به تغییر غلظت ماده سمی در محیط کشت و مدت زمان تماس سلول با ماده سمی است. نتیجه سمی بودن سلولی با کمیت  $IC_{50}$  برای کمپلکس مورد نظر بر پنج رده سلولی در جدول ۲ ارائه شده است.

جدول ۲ فعالیت پادرسطان کمپلکس ۱ در مقابل رده‌های سلولی سلطانی انسان و سلول‌های فیبروبلاست پوست انسان پس از ۲۴ ساعت تیمار پیوسته

رده‌های سلولی	$IC_{50}$ ( $\mu M$ )	
	پاکلی‌تاکسول	کمپلکس ۱
گلیوبلاستوما اولیه انسانی (U-87MG)	۶/۹۳	۲۷/۳۸
سرطان سینه انسان (MCF-7)	۹/۵۰	۳۵/۷۱
سرطان تخمدان (SCOV-3)	۸/۹۱	۱۸/۷۸
سرطان کولون انسانی (HT-29)	۱۲/۳۲	۲۲/۵۰
فیبروبلاست‌های پوستی انسانی (AGO1522)	۳۳/۰۵	۴۴/۱۰



شکل ۸ نمودارهای تأثیر غلفت‌های متفاوت کمپلکس ۱ بر مرگ سلولی پنج رده سلولی U87-MG (الف) (ب)، ۳ (ب)، (ج) (د) و (ه) (ago1522)

موج‌های بلندتر جایه‌جا شده و این انتقال قرمز به کوئوردینه-شدن لیگاند به یون فلزی نسبت داده می‌شود. نتیجه‌های درصد سمی‌بودن سلولی بر حسب غلظت کمپلکس (۰ تا ۱۰۰ میکرو مولار) نشان می‌دهد که تعداد سلول‌های زنده سرطانی با افزایش غلظت کمپلکس به شدت کاهش می‌یابد.

کمپلکس ۱ بیشترین اثر سمی‌بودن را بر رده سلولی گلیوبلاستوما انسانی دارد که نشان‌دهنده بالابودن ویژگی پادرسطانی کمپلکس ۱ نسبت به پاکلی تاکسول است.

### سپاسگزاری

نویسنده‌گان تشکر و قدردانی خود را از دانشگاه صنعتی خواجه نصیرالدین طوسی بابت حمایت مالی این پژوهش اعلام می‌کنند.

### نتیجه‌گیری

از واکنش نمک نقره نیترات با  $^{14}\text{C}$ -کوینولین- $2,2'\text{-تریپیریدین}$ , کمپلکس مونو-تریپیریدین (۱)  $\text{Ag}(\text{qtpy})(\text{NO}_3)$  سنتز شد. فراورده واکنش با تجزیه عصری، طیف‌سنجی فروسرخ و طیف‌سنجی رزونانس مغناطیسی هسته  $^{13}\text{C}$  NMR و  $^1\text{H}$  NMR شناسایی شد.

بررسی پایداری گرمایی این کمپلکس نشان می‌دهد که لیگاند تریپیریدین در مراحل پایانی تجزیه گرمایی از کمپلکس جدا شده که به انرژی بالای تفکیک پیوند فلز-نیتروژن نسبت داده می‌شود. بررسی ویژگی‌های فلورسانس کمپلکس نشان می‌دهد که با برانگیخته‌شدن این مولکول، پیک نشری در ناحیه‌ای با انرژی بالا ظاهر می‌شود که مربوط به انتقال‌های  $\pi-\pi^*$  است. نشر کمپلکس نسبت به لیگاند آزاد به سمت طول

### مراجع

- [1] Yu, X.; Guo, C.; Lu, S.; Chen, Z.; Wang, H.; Li, X.; Macromol. Rapid Commun. 43(14), 2200004, 2022.
- [2] Shi, J.; Wang, M.; Chem. Asian J. 16, 4037-4048, 2021.
- [3] Panicker, R.R.; Sivaramakrishna, A.; Coord. Chem. Rev. 459, 214426, 2022.
- [4] Uflyand, I.E.; Tkachev, V.V.; Zhinzhilo, V.A.; Drogan, E.G.; Burlakova, V.E.; Sokolov, M.E.; Panyushkin, V.T.; Baimuratova, R.K.; Dzhardimalieva, G.I.; J. Mol. Struct. 1250, 131909, 2022.
- [5] Yu, X.; Gao, F.; Zhao, W.; Lai, H.; Wei, L.; Yang, C.; Wu, W.; Dalton Trans. 51, 9314-9322, 2022.
- [6] McGhie, B.S.; Aldrich-Wright, J.R.; Biomedicines 10(3), 578, 2022.
- [7] Peng, K.; Friedrich, A.; Schatzschneider, U.; Chem. Commun. 55, 8142-8145, 2019.
- [8] Abel, E.W.; Orrell, K.G.; Osborne, A.G.; Pain, H.M.; Šík, V.; Hursthouse, M.B.; Malik, K.A.; J. Chem. Soc., Dalton Trans. 23, 3441-3449, 1994.
- [9] Hou, L.; Li, D.; Ng, S.W.; Acta Cryst. E61, m404-m406, 2005.
- [10] Momeni, B.Z.; Kazemzade Anari, S.; Janczak, J.; Fallahpour, R.; J. Inorg. Organomet. Polym. Mater. 32, 2279-2297, 2022.
- [11] Momeni, B.Z.; Kazemzade Anari, S.; Torrei, M.; Janczak, J.; Appl. Organomet. Chem. 35, e6179, 2021.
- [12] Momeni, B.Z.; Jebraeil, S.M.; Patrick, B.O.; Abd-El-Aziz, A.S.; Polyhedron, 55, 184-191, 2013.
- [13] Momeni, B.Z.; Rahimi, F.; Jebraeil, S.M.; Janczak, J.; J. Mol. Struct. 1150, 196-205, 2017.
- [14] Momeni, B.Z.; Rahimi, F.; Torrei, M.; Rominger, F.; Appl. Organomet. Chem. 34, e5613, 2020.
- [15] Momeni, B.Z.; Rahimi, F.; Rominger, F.; J. Inorg. Organomet. Polym. Mater. 28, 235-250, 2018.
- [16] Huang, T.-H.; Zhang, M.-H.; Gao, C.-Y.; Wang, L.-T.; Inorg. Chim. Acta 408, 91-95, 2013.

- [17] Deb, S.; Sahoo, A.; Pal, P.; Baitalik, S.; Inorg. Chem. 60, 6836-6851, 2021.
- [18] Liu, P.; Chi, Z.; Shi, G.; Dong, H.; Ma, C.; Chen, X.A.; Eur. Polym. 159, 110716, 2021.
- [19] Momeni, B. Z.; Karimi, S.; Janczak, J.; J. Mol. Struct. 1273, 134245, 2023.
- [20] Momeni, B.Z.; Rahimi, F.; J. Nanostruct. 8, 242, 2018.
- [21] Ahmad, E.; Rai, S.; Padhi, S.K.; Inter. J. Hydrot. Energy. 44, 16467-16477, 2019.
- [22] Majee K.; Padhi, S. K.; New. J. Chem. 43, 3856-3865, 2019.
- [23] Momeni, B.Z.; Doustkhahvajari, F; Inorg. Chim. Acta 487, 145-152, 2019.
- [24] Maroń, A.; Czerwińska, K.; Machura, B.; Raposo, L.; Roma-Rodrigues, C.; Fernandes, A.R.; Małecki, J.G.; Szlapa-Kula, A.; Kula, S.; Krompiec, S.; Dalton Trans. 47, 6444-6463, 2018.
- [25] Keller, S.; Camenzind, T.N.; Abraham, J.; Prescimone, A.; Häussinger, D.; Constable, E.C.; Housecroft, C.E.; Dalton Trans. 47, 946-957, 2018.
- [26] Hannon, M.J.; Painting, C.L.; Plummer, E.A.; Childs, L.J.; Alcock, N.W.; Chem. Eur. J. 8, 2225-2238, 2002.
- [27] Luong, L.M.; Lowe, C.D.; Olmstead, M.M.; Balch, A.L.; Polyhedron, 226, 116051, 2022.
- [28] Heine, J.; Westemeier, H.; Dehnen, S.; Z. Anorg. Allg. Chem. 636, 996-1001, 2010.
- [29] Bruijnincx, P.C.; Sadler, P.J.; Curr. Opin. Chem. Biol. 12, 197-206, 2008.
- [30] Raju, S.K.; Karunakaran, A.; Kumar, S.; Sekar, P.; Murugesan, M.; Karthikeyan, M.; Ger. J. Pharm. Biomater. 1, 6-28, 2022.
- [31] Gu, Y.-Q.; Zhong, Y.-J.; Hu, M.-Q.; Li, H.-Q.; Yang, K.; Dong, Q.; Liang, H.; Chen, Z.-F.; Dalton Trans. 51, 1968-1978, 2022.
- [32] Fnfoon, D.Y.; Al-Adilee, K.J.; J. Mol. Struct. 1271, 134089, 2023.
- [33] Elkanzi, N.A.A.; Hrichi, H.; Salah, H.; Albqmi, M.; Ali, A.M.; Abdou, A.; Polyhedron 230, 116219, 2023.
- [34] Malarz, K.; Zych, D.; Gawecki, R.; Kuczak, M.; Musioł, R.; Mrozek-Wilczkiewicz, A.; Eur. J. Med. Chem. 212, 113032, 2021.
- [35] Cummings, S.D.; Coord. Chem. Rev. 253, 1495-1516, 2009.
- [36] Altmann, S.; Choroba, K.; Skonieczna, M.; Zygałdo, D.; Raczyńska-Szajgin, M.; Maroń, A.; Małecki, J.G.; Szlapa-Kula, A.; Tomczyk, M.; Ratuszna, A.; Machura, B.; Szurko, A.; J. Inorg. Biochem. 201, 110809, 2019.
- [37] Fik, M.A.; Gorczyński, A.; Kubicki, M.; Hnatejko, Z.; Fedoruk-Wyszomirska, A.; Wyszko, E.; Giel-Pietraszuk, M.; Patroniak, V.; Eur. J. Med. Chem. 86, 456-468, 2014.
- [38] Njogu, E.M.; Martincigh, B.S.; Omondi, B.; Nyamori, V.O.; Appl. Organomet. Chem. 32, e4554, 2018.
- [39] Mahendiran, D.; Kumar, R.S.; Rahiman, A.K.; Mater. Sci. Eng. C, 76, 601-615, 2017.
- [40] Panebianco, R.; Viale, M.; Bertola, N.; Bellia, F.; Vecchio, G.; Dalton Trans. 51, 5000-5003, 2022.
- [41] Matada, B.S.; Pattanashettar, R.; Yernale, N.G.; Bioorg. Med. Chem. 32, 115973, 2021.
- [42] Yadav, P.; Shah, K.; Bioorganic Chem. 109, 104639, 2021.
- [43] Choroba, K.; Machura, B.; Szlapa-Kula, A.; Malecki, J.G.; Raposo, L.; Roma-Rodrigues, C.; Cordeiro, S.; Baptista, P.V.; Fernandes, A.R.; Eur. J. Med. Chem. 218, 113404, 2021.
- [44] Grau, J.; Caubet, A.; Roubeau, O.; Montpeyo, D.; Lorenzo, J.; Gamez, P.; Chem. Bio. Chem. 21, 2348-2355, 2020.
- [45] Choroba, K.; Machura, B.; Kula, S.; Raposo, L.R.; Fernandes, A.R.; Kruszynksi, R.; Erfurt, K.; Shulpina, L.S.; Kozlov, Y.N.; Shulpin, G.B.; Dalton. Trans. 48, 12656-12673, 2019.
- [46] Njogu, E.M.; Nyamori, V.O.; Omondi, B.; J. Mol. Struct. 1153, 202-211, 2018.
- [47] Geary, W.J.; Coord. Chem. Rev. 7, 81-122, 1971.
- [48] Santos, A.F.; Ferreira, I.P.; Pinheiro, C.B.; Santos, V.G.; Lopes, M.T.; Teixeira, L.R.; Rocha, W.R.; Rodrigues, G.L.; Beraldo, H.; ACS Omega 3, 7027-7035, 2018.
- [49] Mughal, E.U.; Mirzaei, M.; Sadiq, A.; Fatima, S.; Naseem, A.; Naeem, N.; Fatima, N.; Kausar, S.; Altaf, A.A.; Zafar, M.N.; Khan, B.A.; R.; Soc. Open Sci. 7, 201208, 2020.

- [50] Toledo, D.; Brovelli, F.; Soto-Delgado, J.; Peña, O.; Pivan, J.Y.; Moreno, Y.; *J. Mol. Struct.* 1153, 282-291, 2018.
- [51] Hau, F.K.-W.; Lo, H.-S.; Yam, V.W.-W.; *Chem. Eur. J.* 22, 3738-3749, 2016.
- [52] Sil, A.; Maity, A.; Giri, D.; Patra, S.K.; *Sens. Actuators B Chem.* 226, 403-411, 2016.
- [53] Taghavi, F.; Ghлизadeh, M.; Saljooghi, A.S.; *New J. Chem.* 40, 2696-2703, 2016.